

# **Геометрические преобразования растровых изображений**

# Содержание

- **Передискретизация**
- **Геометрическое преобразование**
- **Реконструкция**
- **Аппроксимации sinc**
- **Аппроксимация поверхности**
- **Супердискретизации**
- **Разложение преобразований в композицию более простых**

# Передискретизация

Построение дискретного изображения, которое было подвергнуто геометрическому преобразованию, при условии наличия дискретизации исходного изображения является фактически проблемой **передискретизации**.

Пусть исходное (непрерывное) изображение задано функцией  $I(x, y)$ , тогда его *дискретизация*  $I_s(x, y)$  (считаем частоту равной  $f_s$ ) будет получена умножением на функцию двумерной "решетки":

$$\begin{aligned} I_s(x, y) &= I(x, y) \cdot \text{Comb}_{f_s}(x, y) \\ &= I(x, y) \cdot \sum_{i,j} \sigma \left( x - \frac{i}{f_s}, y - \frac{j}{f_s} \right), (i, j) \in \mathbb{Z}^2 \\ &= \sum_{i,j} I \left( \frac{i}{f_s}, \frac{j}{f_s} \right) \cdot \sigma \left( x - \frac{i}{f_s}, y - \frac{j}{f_s} \right). \end{aligned}$$

(\*)

Следовательно, мы получили растр, с атрибутами

$$I_s(i, j) \stackrel{\text{def}}{=} I \left( \frac{i}{f_s}, \frac{j}{f_s} \right).$$

# Геометрическое преобразование

Пусть преобразование задано функцией :

$$\begin{pmatrix} x' \\ y' \end{pmatrix} = T \begin{pmatrix} x \\ y \end{pmatrix}.$$

Тогда преобразованное изображение равно  $I'(x', y') = I(T^{-1}(x', y'))$ ,

дискретизация (с частотой  $f'_s$ ) преобразованного изображения должна быть получена как

$$\begin{aligned} I'(x', y') &= I'(x', y') \cdot \text{Comb}_{f'_s}(x', y') \\ &= I'(x', y') \cdot \sum_{i', j'} \sigma \left( x' - \frac{i'}{f'_s}, y' - \frac{j'}{f'_s} \right), (i', j') \in \mathbb{Z}^2 \\ &= \sum_{i', j'} I' \left( \frac{i'}{f'_s}, \frac{j'}{f'_s} \right) \cdot \sigma \left( x' - \frac{i'}{f'_s}, y' - \frac{j'}{f'_s} \right) \\ &= \sum_{i', j'} I \left( T^{-1} \left( \frac{i'}{f'_s}, \frac{j'}{f'_s} \right) \right) \cdot \sigma \left( x' - \frac{i'}{f'_s}, y' - \frac{j'}{f'_s} \right). \end{aligned}$$

# Реконструкция

Мы рассматриваем задачу, когда нам неизвестно исходное изображение, а известна только его *дискретизация*  $I_s$ .

В таком случае в качестве  $I$  следует подставить реконструированное изображение  $I_r$ .

Реконструкция производится с помощью реконструирующего фильтра  $RFilter$ :

$$I_r(x, y) = \int I_s(s, t) \cdot RFilter(x - s, y - t) ds dt$$

(\*\*)

$$\stackrel{7.11}{=} \sum_{i,j} I_s(i, j) \cdot RFilter\left(x - \frac{i}{f_s}, y - \frac{j}{f_s}\right).$$

# Аппроксимации sinc

В идеальном случае, когда начальная частота дискретизации была больше частоты Найквиста и в качестве RFilter выступает функция sinc изображение будет реконструировано точно, т.е.  $I_r = I$ .

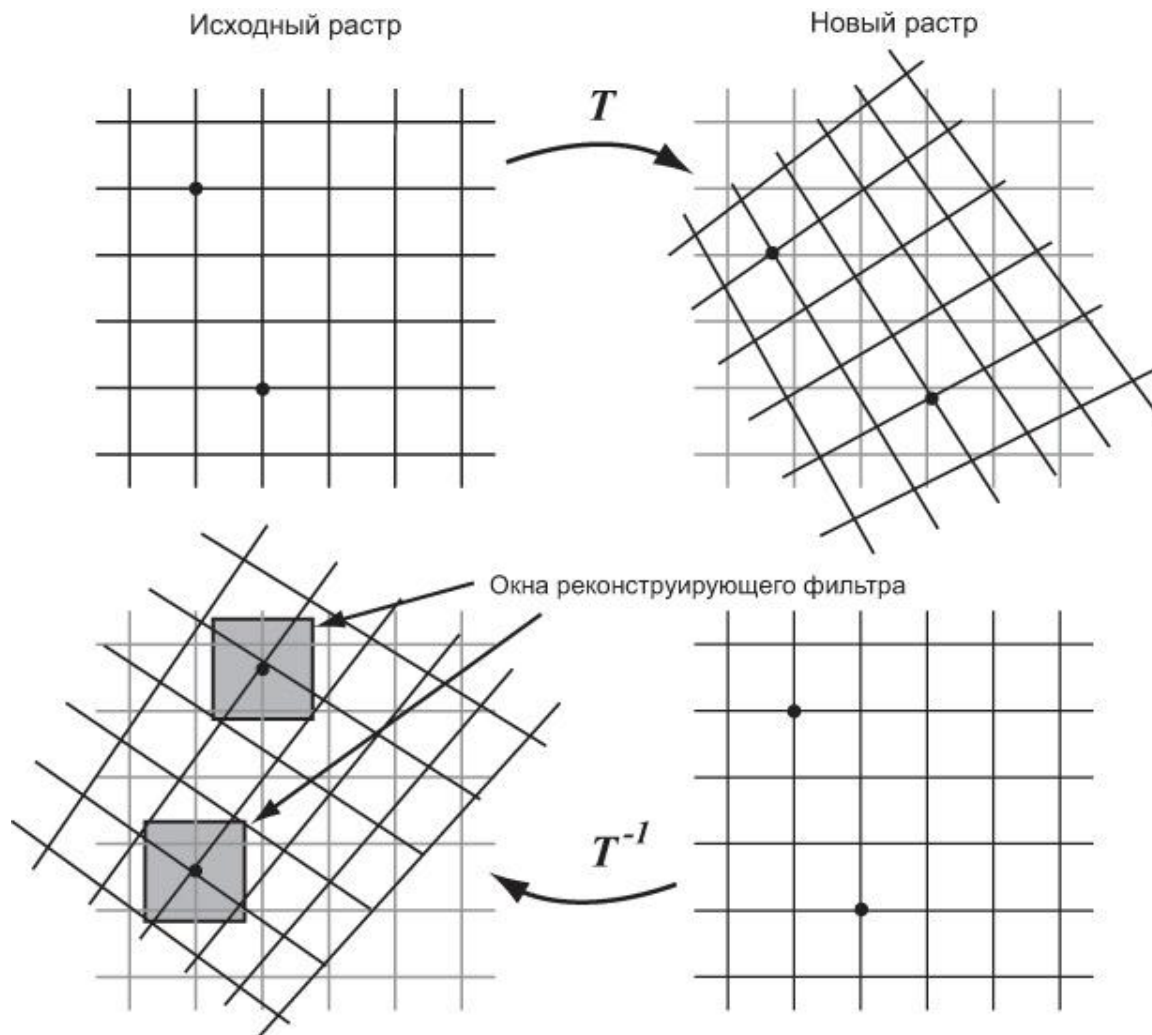
На практике же в качестве RFilter выступают различные аппроксимации sinc с локальным носителем (см. таблицу), что дает некоторые искажения (в частности, *размытие*).

Если в *выражение* (\*) подставить  $I_r$ , вычисленное по формуле (\*\*) вместо  $I$  и воспользоваться определением (7.11) для атрибутов нового раstra  $I'_s(i', j')$  то получаем, что

$$I'(x', y') = \sum_{i,j} I_s(i, j) \cdot RFilter \left( T^{-1} \left( \left( \begin{matrix} \frac{i'}{f'_s} \\ \frac{j'}{f'_s} \end{matrix} \right) - \left( \begin{matrix} \frac{i}{f_s} \\ \frac{j}{f_s} \end{matrix} \right) \right) \right).$$

Таким образом, задача передискретизации сводится к применению дискретной свертки (фактически суммированию) исходного дискретизованного изображения  $I_s$  с функцией фильтра RFilter, центрированной в прообразе нового пикселя при преобразовании  $T$

# Передискретизация



# Аппроксимация поверхности

Линейные фильтры, используемые в качестве RFilter, фактически осуществляют локальную интерполяцию или аппроксимацию поверхности  $I_r$  по точкам дискретизации.

Если мы просто будем считать  $I_r$  некоторой поверхностью, то в этом случае

$$I'_s(i', j') = I_r \left( T^{-1} \left( \frac{i'}{f'_s}, \frac{j'}{f'_s} \right) \right).$$

Если в качестве фильтра выступает *функция-параллелепипед*, то при передискретизации новое *значение* будет просто средним по пикселям, попавшим в область носителя (для малого радиуса (  $1/2$  ) - просто *значение* ближайшего пикселя).

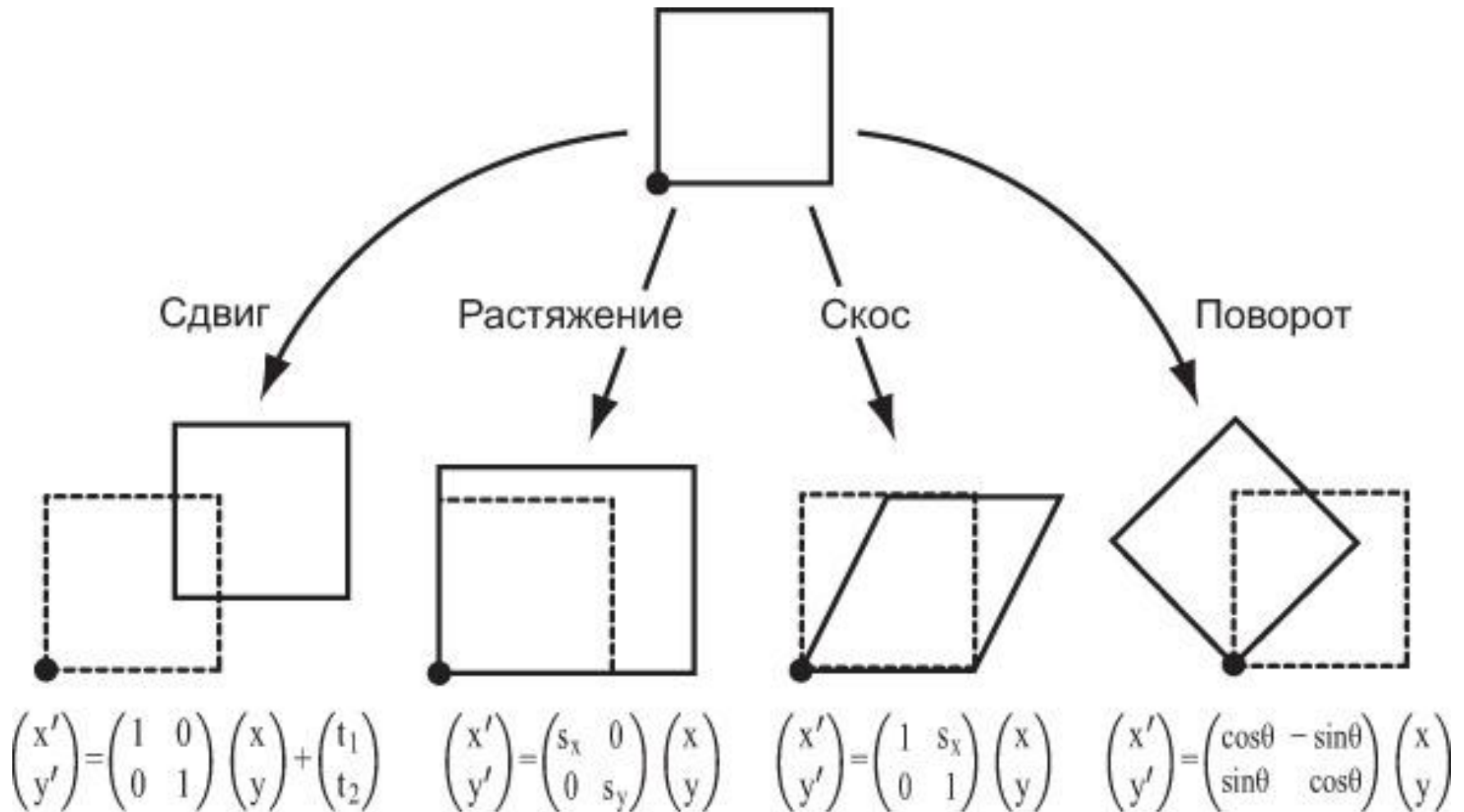
Пирамидальному фильтру соответствует билинейная *интерполяция*.

Более качественные результаты можно получить при использовании бикубической интерполяции, которая соответствует сепарабельному кубическому фильтру (см. таблицу ).

Она является стандартной в популярном растровом редакторе Adobe Photoshop.



# Аффинные преобразования



# Аффинные преобразования

Предметом нашего рассмотрения будут в основном аффинные преобразования:

$$\begin{pmatrix} x' \\ y' \end{pmatrix} = \begin{pmatrix} a_{11} & a_{12} \\ a_{21} & a_{22} \end{pmatrix} \begin{pmatrix} x \\ y \end{pmatrix} + \begin{pmatrix} b_1 \\ b_2 \end{pmatrix},$$

частным случаем которых являются сдвиги, растяжения, скосы и повороты (см. рис. ).

В трехмерной графике подобные проблемы возникают при текстурировании, т.е. наложении искаженных растровых изображений на поверхности объектов, которые затем проецируются на экран.

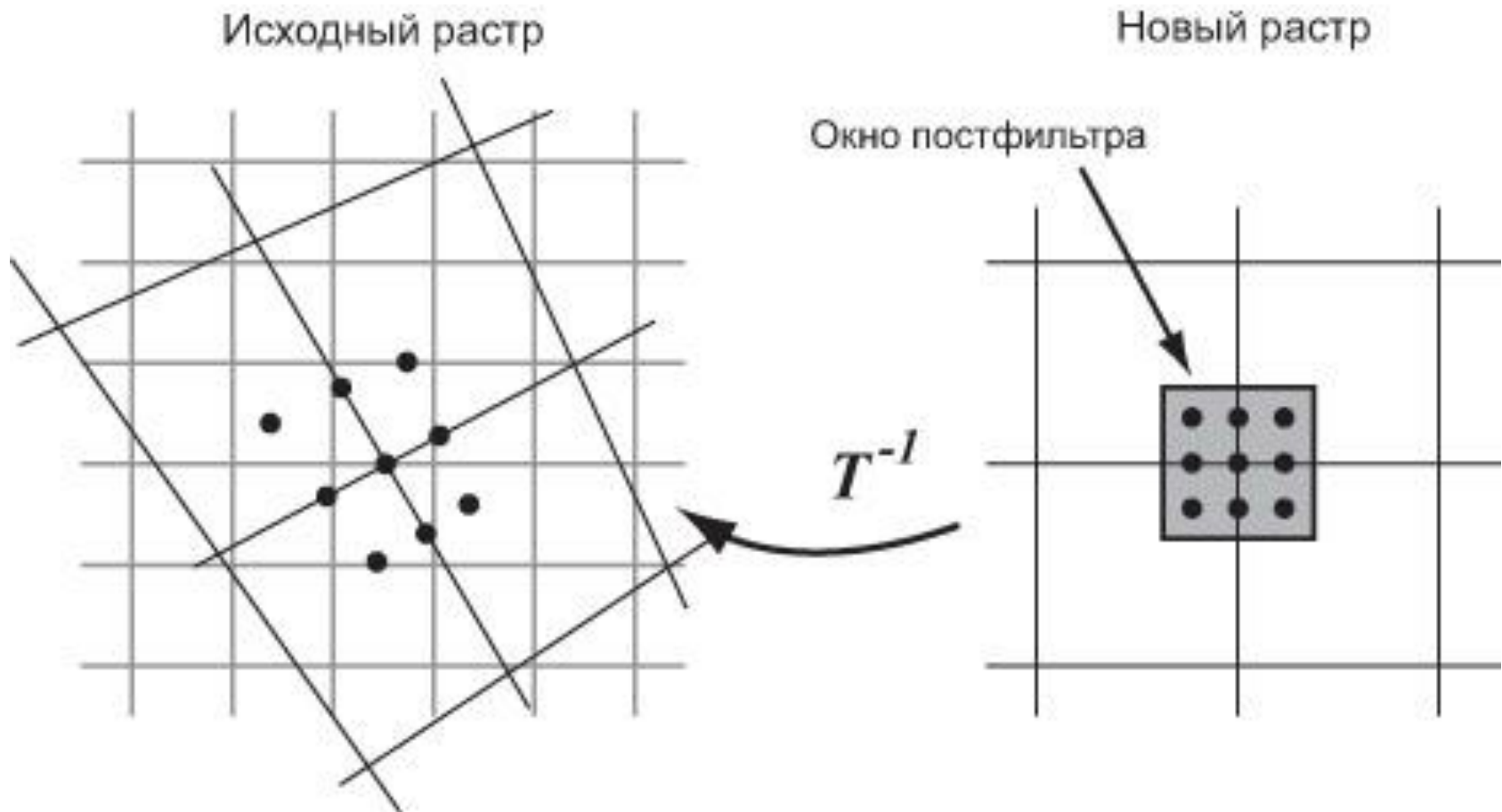
Там, как правило, речь идет о перспективных преобразованиях (задаются невырожденной трехмерной матрицей )

$$x' = \frac{a_{11}x + a_{12}y + a_{13}}{a_{31}x + a_{32}y + a_{33}},$$

$$y' = \frac{a_{21}x + a_{22}y + a_{23}}{a_{31}x + a_{32}y + a_{33}}.$$



# Супердискретизация



# Супердискретизация

При перспективных преобразованиях возможны значительные искажения, при которых *эффективная частота* дискретизации, обратно пропорциональная расстоянию между переведенными точками, может быть значительно больше исходной, которая полагается равной 1 (в пикселях исходного изображения).

В этом случае прибегают к супердискретизации.

Локально для одного пикселя в  $I'$  строится промежуточная *дискретизация* с частотой, большей чем  $f'$  (обычно в *целое число* раз, которое зависит от степени искажения<sup>3</sup>), а затем по ней с помощью второго этапа дискретной фильтрации (зачастую здесь применяется простейший усредняющий фильтр-параллелепипед) получаем *значение* интенсивности результирующего пикселя (см. рис.).

Как всегда, на практике, пожертвовав точностью, можно получить более быстродействующие алгоритмы.

# Разложение преобразований в композицию более простых

В некоторых случаях имеет смысл раскладывать сложное преобразование в последовательность более простых, для которых существуют эффективные алгоритмы.

Самый простой и полезный пример - представление общего преобразования  $T$  в виде композиции преобразований по столбцам и по строкам. Преобразования, сохраняющие столбцы или строки, можно эффективно распараллелить (по столбцам и строкам соответственно).

Пусть,  $T = R \circ C$  где  $C$  сохраняет столбцы, а  $R$  - строки.

Пусть,  $T: (x, y) \mapsto (x'', y'')$

а промежуточный результат  $(x', y')$  ( $C: (x, y) \mapsto (x', y')$ ,  $R: (x', y') \mapsto (x'', y'')$ )

# ВЫВОД

Тогда

$$T = \begin{pmatrix} t_1(x, y) \\ t_2(x, y) \end{pmatrix}; C = \begin{pmatrix} x \\ c_2(x, y) \end{pmatrix}; R = \begin{pmatrix} r_1(x', y') \\ y' \end{pmatrix}.$$

Следовательно

$$T = \begin{pmatrix} t_1(x, y) \\ t_2(x, y) \end{pmatrix} = \begin{pmatrix} r_1(x, c_2(x, y)) \\ c_2(x, y) \end{pmatrix}.$$

Таким образом,  $c_2(x, y) = t_2(x, y)$  и  $r_1(x, t_2(x, y)) = t_1(x, y)$ .

Для того, чтобы найти  $r_1$ , надо в выражении  $t_1$  вычлениТЬ все подвыражения, содержащие  $y$ , и привести их к виду  $t_2(x, y)$ .

После этого, заменив эти подвыражения на  $y$ , получим выражение для  $r_1$ .

# Пример поворота на угол

$$T(x, y) = \begin{pmatrix} \cos \theta & -\sin \theta \\ \sin \theta & \cos \theta \end{pmatrix} \begin{pmatrix} x \\ y \end{pmatrix}.$$

Тогда

$$t_1(x, y) = \cos \theta \cdot x - \sin \theta \cdot y,$$

$$c_2(x, y) = t_2(x, y) = \sin \theta \cdot x + \cos \theta \cdot y,$$

тогда  $y = (t_2(x, y) - \sin \theta \cdot x) / \cos \theta$  (это, конечно, возможно, когда  $\theta \neq \pm 90^\circ$ ). Отсюда

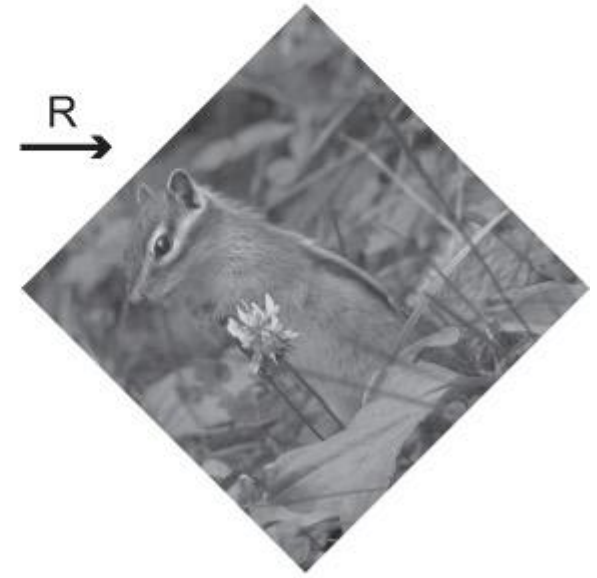
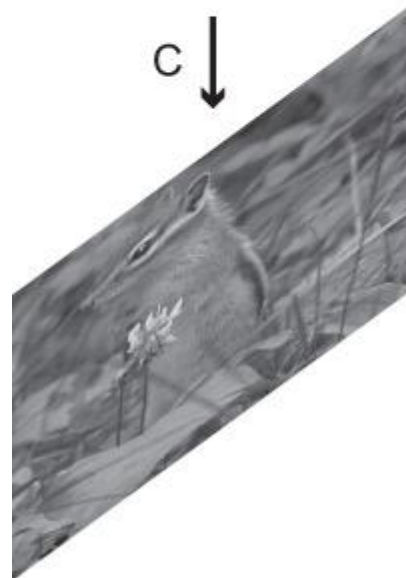
$$\begin{aligned} t_1(x, y) &= \cos \theta \cdot x - \sin \theta \cdot \left( \frac{t_2(x, y) - \sin \theta \cdot x}{\cos \theta} \right) \\ &= \sec \theta \cdot x - \tan \theta \cdot t_2(x, y). \end{aligned}$$

Получаем, что  $r_1(x, y) = \sec \theta \cdot x - \tan \theta \cdot y$ . Итак, получено следующее разложение (наглядно на [рис.](#)

$$\begin{pmatrix} \cos \theta & -\sin \theta \\ \sin \theta & \cos \theta \end{pmatrix} = \begin{pmatrix} \sec \theta & -\tan \theta \\ 0 & 1 \end{pmatrix} \cdot \begin{pmatrix} 1 & 0 \\ \sin \theta & \cos \theta \end{pmatrix}$$

# Разложение вращения на скос и смещение по вертикали (C), а затем по горизонтали (R)

- Преобразования C и R представляют собой композицию сжатия и скоса по вертикали и горизонтали соответственно. Поэтому данная декомпозиция позволяет реализовать поворот с помощью нескольких последовательных применений алгоритма для скосов и масштабирования.





# Разложение вращения на 3 скоса

Существует альтернативное разложение на 3 скоса для матрицы поворота (наглядно на [рис.](#)), которое позволяет избавиться от существенных искажений при , присущих вышеизложенному алгоритму:

$$\begin{pmatrix} \cos \theta & -\sin \theta \\ \sin \theta & \cos \theta \end{pmatrix} = \begin{pmatrix} 1 & -\tan \frac{\theta}{2} \\ 0 & 1 \end{pmatrix} \begin{pmatrix} 1 & 0 \\ \sin \theta & 1 \end{pmatrix} \begin{pmatrix} 1 & -\tan \frac{\theta}{2} \\ 0 & 1 \end{pmatrix}$$

# Разложение вращения на 3 скоса.



# Литература

- <https://www.intuit.ru/studies/courses/993/163/lecture/4503?page=9>